

برههم‌کنش کمپلکس پادتومور روی حاوی لیگاند شیف باز با آلبومین سرم انسانی و گاوی

سمیه شهرکی^{۱*} و فاطمه خسروی^۲

۱. دانشیار شیمی معدنی، گروه شیمی، دانشگاه زابل، زابل، ایران.

۲. دکتری شیمی معدنی، گروه شیمی، دانشگاه زابل، زابل، ایران.

دریافت: آذر ۱۴۰۰ بازنگری: فروردین ۱۴۰۱ پذیرش: اردیبهشت ۱۴۰۱



10.30495/JACR.2022.1946470.1997



20.1001.1.17359937.1401.16.2.5.9

چکیده

در این پژوهش برههم‌کنش کمپلکس روی $\text{Zn}(\text{SBL})_2\text{Cl}_2$ (SBL = لیگاند شیف باز ۲-ایمینواتیپیپرازین دی استیل مونوکسیم) با پروتئین آلبومین سرم انسانی (HSA) و گاوی (BSA) در محیط تریس بافر حاوی 0.1 میلیمولار سدیم کلرید در سه دمای 30°C ، 30.3°C و 31.7°C کلوبن با روش‌های طیف‌سنجی مورد بررسی قرار گرفت. نتیجه‌های به دست آمده برای هر دو کمپلکس به تقریب مشابه بودند، به طوری که طیف‌سنجی فلورسانس نشان داد که خاموش‌سازی فلورسانس ذاتی هر دو پروتئین به دلیل برههم‌کنش کمپلکس روی از راه سازوکار خاموش‌سازی ایستا است. کمپلکس روی با تمایلی به تقریب مشابه، $K_b = 10^4 \text{ M}^{-1}$ ، با هر دو پروتئین برههم‌کنش کرد. عامل‌های ترمودینامیکی مشارکت پیوند هیدروژن و برههم‌کنش‌های واندروالس را نشان داد، ولی نقش برههم‌کنش‌های آب‌گربزی به دلیل حضور گروه ایمین در ساختار کمپلکس و مقدار کوچک ΔS بی‌اهمیت نیست. تغییرهای ساختاری طی برههم‌کنش کمپلکس روی با دو پروتئین مورد مطالعه با روش‌های فلورسانس همزمان و سه بعدی و همچنین، دورنگ نمایی حلقوی موربد بررسی قرار گرفت. نتیجه‌های فلورسانس همزمان نشان داد که در حین برههم‌کنش کمپلکس با HSA و BSA تغییر قطبیت محسوسی در اطراف باقی‌مانده تریپوفان رخ نمی‌دهد در حالی که در اطراف باقی‌مانده تیروزین قطبیت تغییر می‌کند. بررسی طیف‌سنجی دورنگ نمایی دورانی نیز کاهش محتوا مارپیچ آلفا در ساختار هر دو پروتئین را نشان می‌دهد. نتیجه‌های این پژوهش تایید می‌کند که برههم‌کنش کمپلکس روی در هر دو پروتئین به تقریب مشابه است. بنابراین، گاهی می‌توان در مطالعه‌های دارویی به جای پروتئین انسانی از هم خانواده حیوانی آن استفاده کرد.

واژه‌های کلیدی: برههم‌کنش‌های پروتئین، عام‌های پیوندی / ترمودینامیکی، تغییرهای ساختاری، سرم آلبومین انسانی / گاوی، کمپلکس‌های شیف باز

لیگاندهای شیف باز یک گروه عمده از ترکیب‌های آلی هستند که دارای ویژگی‌های زیستی بسیاری مانند فعالیت‌های پادبacterی، پادقارچ، پادمالاریا، پادالتهابی،

مقدمه تهیه کمپلکس‌های فلزی با لیگاندهای متفاوتی که ویژگی‌های زیستی دارند بسیار مورد توجه قرار گرفته است.

آلبومین سرم انسانی (HSA) پروتئینی کروی با ۵۸۵ اسیدآمینه، جزء اصلی ترین و در عین حال فراوانترین پروتئین‌های موجود در پلاسمای خون است. این پروتئین مسئول حدود ۸۰ درصد از فشار اسمزی خون است [۱۲ و ۱۳]. این پروتئین با داشتن سه جایگاه پیوند اختصاصی (I، II، III) که هر کدام از آن‌ها دو زیر ناحیه A و B دارند، نقش مهمی در انتقال و پخش داروها در خون دارد [۱۴ و ۱۵]. پیوند دارو با آلبومین خون و تغییر ساختار پروتئین، یکی از عامل‌های بروز عوارض جانبی دارو هستند. از این‌رو، بر هم‌کنش تعداد زیادی از داروها با این پروتئین مطالعه شده است [۱۶ و ۱۷]. به طور معمول منابع آلبومین مورد استفاده شامل سرم آلبومین انسانی، اوالبومین^۱ تخم مرغ و آلبومین سرم شیر گاو است. آلبومین سرم گاوی دارای وزن مولکولی ۶۶ کیلودالتون و نقطه ایزوالکتریک ۴/۷ در آب $^{\circ}\text{C}$ فراوان و در دسترس است، خالص‌سازی این ترکیب ساده و دارای ویژگی پیوندی مشابه هم‌خانواده انسانی خود (یعنی HSA) با لیگاندهاست. آلبومین نقش‌های زیستی مهمی در بدن دارد و یک پروتئین چند عملکردی است. از نظر ساختاری بسیار انعطاف‌پذیر است ولی به سادگی دچار اختلال ساختاری شدید نمی‌شود. این پروتئین، حامل بسیاری از ترکیب‌های گوناگون مانند بیلی‌روین، اسیدهای چرب، آمینواسیدها، هورمون‌ها، داروهای پادزیست‌ها، ترکیب‌های حلقوی باردار و کوچک و بسیاری از کاتیون‌های فلزی است [۱۸]. مطالعه‌ها رابطه بین میزان فعالیت و تغییرهای ساختاری پروتئین‌ها را به اثبات رسانده است. مطالعه تغییرهای ساختار (ساختار ثانویه) پروتئین‌ها با طیف‌سنجی مرئی-فرابنفش، فلورسانس و دورنگ‌نمایی دورانی^۲ صورت می‌پذیرد [۱۹]. در این پژوهش، یک کمپلکس روی (II) با لیگاند شیف باز (ایمینواتیل)پیپرازین‌دی‌استیل‌مونواکسیم (شکل ۱) که

پادوبروسوی و تبره هستند [۱ تا ۴]. شیف بازها ترکیب‌های حاوی گروه ایمینی (R = CN-) هستند که از تراکم آمین نوع اول با کربنیل فعال ('RCOR) تهیه می‌شوند [۵]. در بیشتر شیف بازها اتم‌های دهنده بیشتر گروه‌های NO یا Se₂O₂ هستند و در برخی نیز O می‌تواند با N و S یا Se₂O₂ شود [۶]. به نظر می‌رسد که در این ترکیب‌ها، گروه جایگزین شده [۶]. مانند فعالیت پاداکسیدانی دارد. در سال‌های اخیر، بسیاری از کمپلکس‌های فلزی شیف باز به عنوان جاذب برای گونه‌های حاوی اکسیژن فعال استفاده شده‌اند و ویژگی پاداکسیدانی قابل توجهی دارند [۷ و ۸]. برای مثال، لیگاند متقارن ۶-دی(فنازونیل)-۴-(ایمینو)متیل-۴-متیل فل و کمپلکس‌های تک هسته‌ای روی و دو هسته‌ای کجال آن، فعالیت پاداکسیدانی قابل توجهی در برابر رادیکال‌های سوپراکسید و هیدروکسیل دارند [۹]. لی و همکارانش تهیه لیگاند شیف باز نارینجنین-۲-هیدروکسی بنزوئیل‌هیدرازون و کمپلکس‌های آن را گزارش کردند. آن‌ها قدرت پاداکسیدانی این ترکیب‌ها در برابر رادیکال‌های هیدروکسیل و سوپراکسید را در شرایط آزمایشگاهی ارزیابی کردند. لیگاند تهیه شده و کمپلکس‌های آن قدرت پاداکسیدانی قابل توجهی نشان دادند و از پاداکسیدان‌های استاندارد مانند ویتامین C و مانیتول نیز عملکرد بهتری داشت [۱۰]. تهیه لیگاند شیف باز، هسپرتین-۲-هیدروکسی بنزوئیل‌هیدرازون و برخی از کمپلکس‌های فلزی آن توسط لی و همکارانش گزارش شد. آن‌ها از روش‌های مهار رادیکال‌های (HO[•]) و (O₂^{•-}) برای ارزیابی قدرت پاداکسیدانی در ترکیب‌های تهیه شده استفاده کردند. نتیجه‌های آن‌ها نشان داد که کمپلکس‌های تهیه شده در مقایسه با لیگاند آزاد و حتی برخی از پاداکسیدان‌های استاندارد، ظرفیت پاداکسیدانی بالاتری دارند [۱۱].

1. Human serum albumin (HAS)

2. Ovalbumin

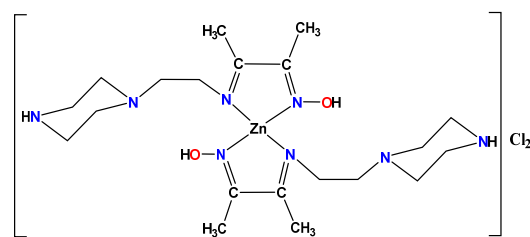
3. Circular dichroism (CD)

کمپلکس شیف باز با روش گزارش شده تهیه شد [۱]. نتیجه های تجزیه عنصری محاسبه شده برای C₂₀H₄₀N₈O₂Cl₂Zn (M.W: 596.6) هیدروژن، ۶۷/۰ نیتروژن، ۱۸/۷۷ درصد و نتیجه های بدست آمده برای این ترکیب؛ کربن، ۴۰/۱۰ هیدروژن، ۶۴/۳۹ نیتروژن، ۱۸/۶۳ درصد بودند. در طیف FTIR (قرص KBr) نوارهای ۳۳۱۹ cm^{-۱} مربوط به ارتعاش کششی گروه OH اکسیم، ۱۴۸۳ cm^{-۱} مربوط به ارتعاش کششی گروه C=N اکسیم، ۱۶۳۶ cm^{-۱} مربوط به ارتعاش کششی گروه ایمینی شیف باز و ۴۵۷ cm^{-۱} مربوط به ارتعاش های پیوند فلزی Zn-N هستند. طیف ¹HNMR کمپلکس در میدان ۲۵۰ مگاهرتز و حلal DMSO-d6 ثبت شد. نوار پهن (C=N) یکتایی در ۱۱/۴۵ ppm به هیدروژن گروه اکسیم-OH نسبت داده می شود. سایر نشانک ها که در گستره ۱/۷۸ ppm (۴/۲۱ ppm پدیدار شده اند مربوط به دو گروه متیل بخش اکسیمی (1.78-2.46 ppm, 6H) و پروتون های پیپرازین (2.88-4.21 ppm, 12H) هستند. در مقایسه با لیگاند آزاد همه پروتون های کمپلکس جابه جایی شیمیابی قابل توجهی نشان می دهد که تأیید کننده کوئردیناسیون لیگاند شیف باز به مرکز فلزی است. در طیف الکترونی کمپلکس، سه نوار در ۲۲۸، ۲۸۳ و ۳۱۹ نانومتر پدیدار شدند. دو نوار اول به انتقال های الکترونی *π→π* و *n→π* گروه C=N آزمتین و نوار سوم به انتقال های بار فلز به لیگاند نسبت داده می شود [۱].

مطالعه برهمکنش کمپلکس روی با HSA و BSA برهمکنش کمپلکس روی و دو پروتئین حامل HSA و BSA در محیط تریس بافر حاوی ۱۰ میلی مولار سدیم کلرید با pH برابر با ۷/۴ بررسی شد. محلول مادر کمپلکس روی با غلظت ۳×۱۰^{-۳} مولار با حل کردن در آب دوبار تقطیر شده، تهیه شد. محلول مناسب هریک از دو پروتئین نیز با حل کردن آن در بافر تریس کار تهیه شد.

1. Bovine serum albumin (BSA)

ویژگی های پادتوموری آن علیه رده های سلولی HT-116 گزارش شده است [۱]، انتخاب و برهمکنش آن با پروتئین آلبومین سرم انسانی و گاوی، HSA و BSA با استفاده از روش های اسپکتروسکوپی مورد مطالعه قرار گرفت. شیوه های پیوندی این کمپلکس با این دو پروتئین و همچنین، عامل های پیوندی و ترمودینامیکی و همچنین، تغییر های ساختاری این پروتئین به کمک طیف سنجی مرئی فرابنفش، فلورسانس و دورنگ نمایی دورانی بررسی شدند.



شکل ۱ ساختار مولکولی کمپلکس شیف باز تهیه شده

بخش تجربی مواد و دستگاه ها

حال های مورد استفاده پیش از مصرف، با روش های استاندارد تقطیر شدند. واکنشگرهای استیل مونواکسیم، ۲-آمینواتیل پیپرازین، روی (II) کلرید، سدیم کلرید و آلبومین سرم انسانی و گاوی و تریس(هیدروکسی متیل آمینومتان از شرکت آذر پارس) خردیاری شدند. طیف های الکترونی در ناحیه مرئی و فرابنفش، با استفاده از طیف سنج JASCO UV/Vis-7850 ثبت شد. برای بررسی نشر فلورسانس، Agilent Cary Eclipse طیف نور سنج فلورسانس به کار گرفته شد. طیف های CD با طیف قطب شسنج دورنگ نمایی دورانی^۳ Jasco J-810 ثبت شد.

2. Circular dichroism spectropolarimeter

خاموش‌کننده و $[Q]$ غلظت خاموش‌کننده است که میزان در دسترس قرار گرفتن فلوروفورها در برابر خاموش‌کننده وابسته به اندازه و بار آن است. در فرایند خاموش‌سازی تنها بخشی از برخوردها با خاموش‌کننده موثر هستند، پس ثابت سرعت خاموشی باید به صورت تجربی تعیین شود. با توجه به معادله $k_q\tau_0 = K_{SV}$ زمان عمر فلورسانس تریپتوفان در هر دو پروتئین حدود 10^{-8} ثانیه است. ثابت سرعت خاموش‌سازی کمپلکس-پروتئین را می‌توان بر پایه معادله بالا برآورد کرد. با استفاده از خاموش‌سازی فلورسانس می‌توان عامل‌های دیگر مانند مقادیر ثابت پیوند (K) و تعداد محل‌های پیوند لیگاند به درشت‌مولکول (n) را به دست آورد (معادله ۲).

$$\log \frac{(F_0 - F)}{F} = \log K + n \log [Q] \quad (2)$$

از آن جایی که در برهم‌کنش لیگاند (پروتئین، دارو، فلزات و غیره) با پروتئین نیروهای متفاوتی مانند نیروهای واندروالس، برهم‌کنش آبگزین، برهم‌کنش الکتروستاتیک و پیوندهای هیدروژنی شرکت دارند؛ بنابراین، در پیوند لیگاند به پروتئین یک انتقال انرژی روی می‌دهد که خاموشی فلورسانس نیز نتیجه این انتقال انرژی است. این نوع خاموشی که در اثر انتقال انرژی یک مولکول به مولکول دیگر ایجاد می‌شود به انتقال انرژی رزونانس فلورسانس^۳ معروف است [۲۳]. برپایه نظریه انتقال انرژی غیر تشعشعی سرعت این انتقال انرژی به عامل‌های زیر وابسته است:

۱. نسبت جهت‌یابی دو قطبی‌های دهنده (پروتئین) و گیرنده (کمپلکس روی)
 ۲. اندازه همپوشانی طیف نشری فلورسانس دهنده (پروتئین) با طیف جذبی گیرنده (کمپلکس روی)
 ۳. فاصله بین دهنده و گیرنده
- انتقال انرژی فقط به فاصله بین پروتئین و لیگاند محدود نمی‌شود بلکه فاصله انتقال انرژی بحرانی (R_0) نیز در این

UV-Vis

طیف‌های جذبی محلول پروتئین-کمپلکس با طیف‌سنج مرئی-فرابنفش در گستره طول موج ۲۰۰ تا ۵۰۰ نانومتر ثبت شدند. در این بررسی غلظت هر پروتئین ۵ میکرومولار و غلظت کمپلکس در گستره ۲/۷ تا ۵/۴ نانومتر میکرومولار بود.

طیف‌سنجی فلورسانس

طیف‌سنجی فلورسانس یکی از روش‌های مؤثر در تشخیص سازوکار خاموش‌سازی، روش و قدرت برهم‌کنش بین پروتئین و کمپلکس تهیه شده است [۲۰]. بنابراین، اندازه‌گیری نشر فلورسانس در گستره طول موج ۳۰۰ تا ۵۰۰ نانومتر انجام شد. طیف‌های فلورسانس در سه دمای متفاوت ۳۰۳، ۳۱۰ و ۳۱۷ کلوین ثبت شدند. طیف‌های فلورسانس پروتئین تنها با غلظت ثابت (۳/۲ میکرومولار برای HSA و ۳۰ میکرومولار برای BSA) و در غلظت‌های متفاوتی از کمپلکس روی (۰ تا ۶۰ میکرومولار) در طول موج تهییجی ۲۸۰ نانومتر و بیشینه طول موج نشر ۳۳۷ نانومتر ثبت شدند.

خاموش‌سازی فلورسانس می‌تواند با دو سازوکار متفاوت ایستا^۱ و پویا روی دهد. خاموش‌سازی ایستا به دلیل تشکیل کمپلکس حالت پایه بین فلوروفور و خاموش‌کننده است و خاموش‌سازی پویا نتیجه برخورد بین فلوروفور و خاموش-کننده است [۲۱]. برای بررسی خاموش‌سازی ایجاد شده با کمپلکس، معادله استرن-ولمر ۱ به کار گرفته شد [۲۲].

$$\frac{F}{F_0} = 1 + K_{SV}[Q] = 1 + k_q\tau_0[Q] \quad (1)$$

در این معادله، F_0 و F به ترتیب شدت‌های فلورسانس در غیاب و حضور خاموش‌کننده و k_q ثابت سرعت خاموش‌سازی فلوروفور-پروتئین، K_{SV} ثابت سرعت خاموش‌سازی استرن-ولمر، τ_0 مدت زمان عمر پروتئین بدون

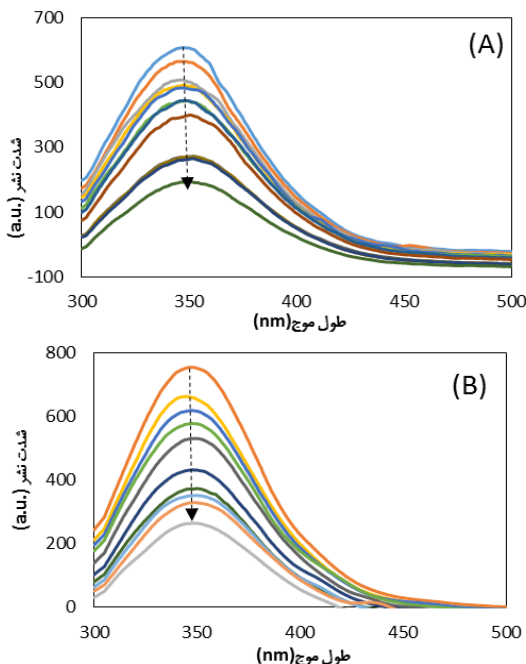
1. Static

2. Fluorescence Resonance Energy Transfer (FRET)

کمپلکس (۳ میکرومولار) پس از سه دقیقه قرارگرفتن در گرمخانه، بررسی شد. همچنین طیف‌های بافر تنها و کمپلکس بدون پروتئین نیز به عنوان نمونه‌های شاهد ثبت شدند.

نتیجه‌ها و بحث

شکل ۲ طیف‌های فلورسانس دو پروتئین HSA و BSA را با افزودن غلظت‌های متفاوت کمپلکس روی در دمای ۳۰۳ کلوین در طول موج برانگیختگی ۲۸۰ نانومتر نشان می‌دهد (طیف‌های مربوط به دو دمای دیگر نمایش داده نشده است).



شکل ۲ طیف‌های نشر فلورسانس پروتئین HSA (۳۲ میکرومولار) (A) و پروتئین BSA (۳۰ میکرومولار) (B) در حضور غلظت‌های متفاوتی از کمپلکس روی (۰ تا ۶۰ میکرومولار) برای HSA و (۰ تا ۶۴ میکرومولار) برای BSA در ۳۰۳ کلوین

انتقال موثر است. عامل‌های مربوط به این انتقال انرژی با معادله‌های ۳ تا ۶ زیر به دست می‌آیند.

$$E = 1 - \frac{F}{F_0} = \frac{R_0^6}{R_0^6 + r^6} \quad (3)$$

$$R_0^6 = 8.79 \times 10^{-25} K^2 n^{-4} \Phi J \quad (4)$$

$$J = \frac{\int F(\lambda) \varepsilon(\lambda) \lambda^4 \Delta\lambda}{\int F(\lambda) \Delta\lambda} \quad (5)$$

$$E = 1 - \frac{F}{F_0} \quad (6)$$

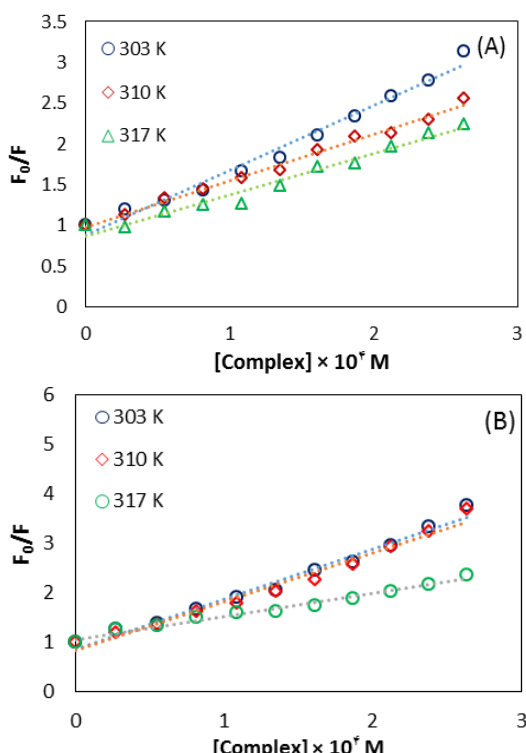
در این معادله‌ها F_0 و F به ترتیب شدت‌های فلورسانس پروتئین در غیاب و حضور خاموش‌کننده، r فاصله بین پروتئین و لیگاند، R_0 فاصله بحرانی (فاصله فورستر)، K^2 عامل جهت‌یابی فضایی دو قطبی پروتئین و لیگاند، n متوسط توان انکساری محیط در ناحیه موجی که طیف‌ها همپوشانی دارند و برابر $1/33$ است، Φ بهره کوانتومی پروتئین و J اثر همپوشانی طیفی بین طیف نشری پروتئین و طیف جذبی لیگاند است [۲۴].

طیف‌سنجی فلورسانس هم‌زمان

برهمکنش پروتئین با مولکول‌های موجود در محیط اطراف آن، برای مثال کمپلکس‌ها، موجب ایجاد تغییر جزئی صورت‌بندی و تغییر قطبیت می‌شود که برای بررسی نوع برهمکنش اهمیت دارد. برای این اندازه‌گیری تفاوت بین طول موج تحریک و نشر ($\Delta\lambda$) بر روی ۱۵ نانومتر (برای تیروزین) و ۶۰ نانومتر (برای تریپتوفان) تنظیم شد. هر دو شکاف نوار تحریک و نشر نیز در ۵ نانومتر ثابت شدند.

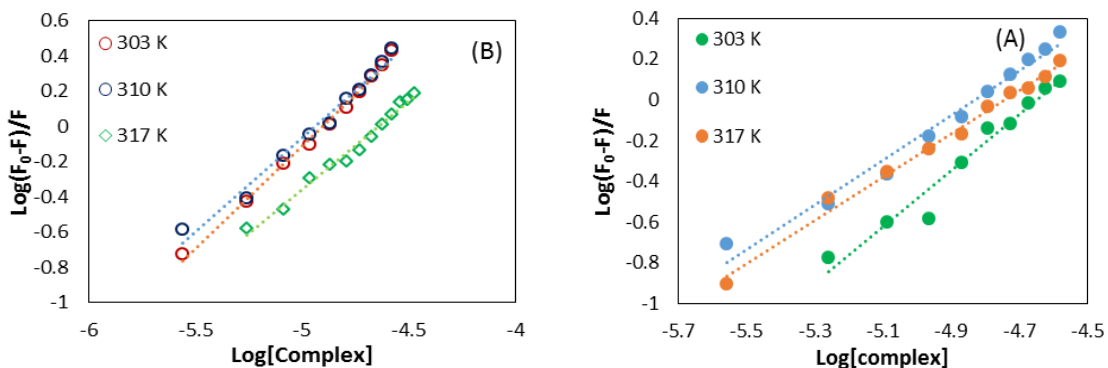
دورنگ نمایی دروانی (CD) با این آزمایش تغییرساختارهای دوم پروتئین در غیاب و در حضور کمپلکس روی در دمای محیط بررسی شد. غلظت پروتئین مورد نیاز برای این مطالعه ۳ میکرومولار بود و تغییر در ساختار پروتئین در اثر برهمکنش غلظت مشابهی از

خاموشسازی نشر فلورسانس پروتئین با سازوکار ایستا پیش رفته است [۸، ۲۶ تا ۳۱]. نیروهای ایجادشده بین مولکول‌های کوچکی مانند داروها و درشت‌مولکول‌ها مانند پروتئین‌ها به طور عمدۀ شامل پیوندهای هیدروژنی، واندروالس، برهم‌کنش‌های الکتروایستایی و آب‌گریز است [۳۲ و ۳۳] با محاسبه عامل‌های ترمودینامیکی برهم‌کنش دارو با پروتئین می‌توان نوع این برهم‌کنش‌ها را پیش‌بینی کرد. محاسبه این عامل‌ها (ΔH , ΔS و ΔG) با کمک معادله وانت‌هوف و رسم نومدار K $\ln K$ نسبت به $1/T$ امکان پذیر است. شکل ۵ نومدار وانت‌هوف برای دو سامانه مورد مطالعه و جدول ۱ مقادیر K , ΔH , ΔS و ΔG محاسبه شده را نشان می‌دهند.



شکل ۳ نومدارهای استرن-ولمر برای برهم‌کنش HSA (A) و BSA (B) با کمپلکس روی (II) در سه دمای ۳۰۳، ۳۱۰ و ۳۱۷ کلوین

با توجه به این شکل، با افزایش غلظت کمپلکس روی شدت نشر برای هر دو پروتئین کاهش می‌یابد که این امر نشان‌دهنده برهم‌کنش این ترکیب با این دو پروتئین است. شکل ۳ نومدارهای F_0/F بر حسب غلظت کمپلکس روی را در دماهای متفاوت نشان می‌دهد. مقادیر K_{SV} (ثابت خاموشسازی استرن-ولمر) و k_q (ثابت سرعت خاموشسازی) در دماهای متفاوت برای دو سامانه کمپلکس روی-پروتئین محاسبه شد که در جدول ۱ نمایش داده شده است. با توجه به مقادیر K_{SV} در جدول ۱ سازوکار خاموشسازی HSA با BSA با کمپلکس روی از نوع ایستا است، زیرا مقادیر K_{SV} با افزایش دما کاهش می‌یابند. همان‌طور که در جدول ۱ مشاهده می‌شود مقادیر $(K_{SV} = k_q \tau_0)$ برای این ترکیب از عدد $S^{-1} \times 10^{10} M^{-1}$ (این عدد بیشینه ثابت سرعت خاموشسازی به طرق برخورد نفوذی یعنی تشکیل حالت گذار فلوروفور-خاموشسازی با درشت مولکول‌های زیستی است) بزرگ‌تر است که ایستا بودن سازوکار خاموشسازی با کمپلکس تهیه شده را نشان می‌دهد. نتیجه‌های مشابهی توسط هو و همکارانش برای کمپلکس $[Cu(L_1)(NO_3)_2]$ گزارش شده است که L_1 شیف متیلن (آمینو) بنزووات است [۲۵]. شکل ۴ نومدارهای $\log (F_0 - F)/F$ بر حسب $\log [Complex]$ را در دماهای متفاوت برای سامانه کمپلکس روی-HSA و کمپلکس روی-BSA و جدول ۱ مقادیر K_b و n محاسبه شده در دماهای متفاوت را برای این سامانه‌ها نشان می‌دهند. مقدار برای این دو سامانه به طور تقریبی نزدیک به یک است. با افزایش دما، مقادیر K_b کاهش می‌یابد که نشان‌دهنده خاموشسازی ایستا است. این نتیجه‌ها مشابه نتیجه‌های K_{SV} است. این نتیجه‌ها با گزارش‌های سونگ و همکارانش همخوانی دارد [۲۶]. چنین روندی در بسیاری از کمپلکس‌های شیف باز مشاهده شده است که در آن‌ها

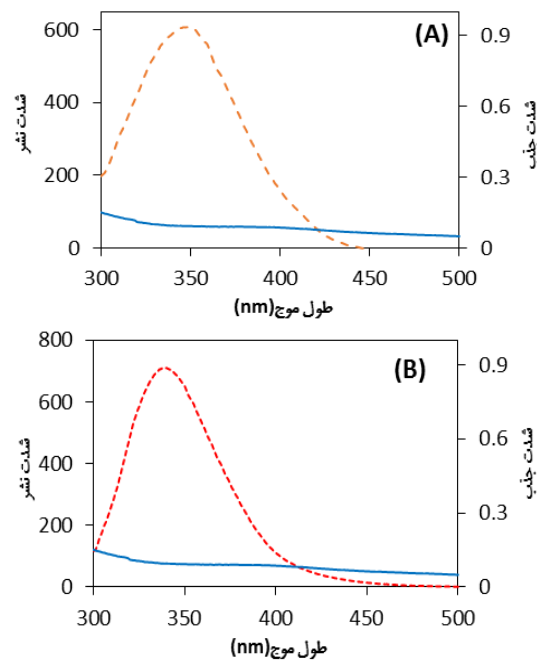
شکل ۴ نمودارهای $\text{log}(F_0 - F)/F$ بر حسب $\text{log}[\text{Complex}]$ در دماهای متفاوت برای کمپلکس روی HSA (A) و کمپلکس روی BSA (B)

جدول ۱ ثابت‌های پیوندی و ترمودینامیکی در برهمکنش کمپلکس روی با HSA و BSA در دماهای متفاوت

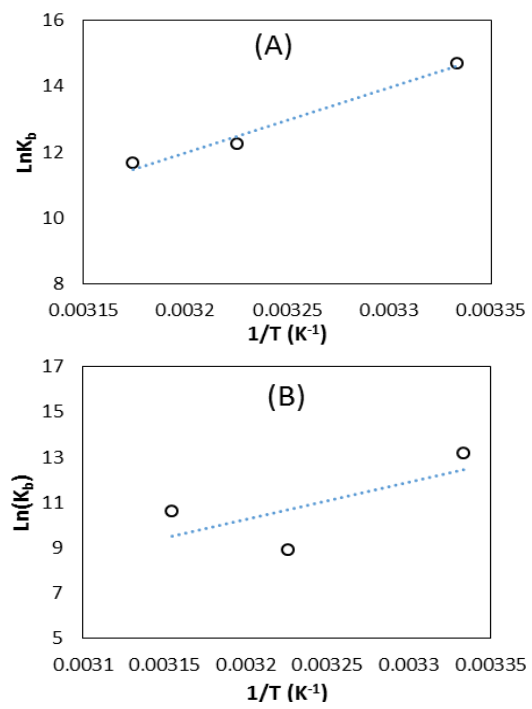
ΔG° (kJ mol ⁻¹)	ΔH° (kJ mol ⁻¹)	ΔS° (J mol ⁻¹ K ⁻¹)	K_{SV} ($\times 10^{-4}$ M ⁻¹)	k_q ($\times 10^{12}$ M ⁻¹ s ⁻¹)	K_b ($\times 10^5$ M ⁻¹)	n	T (K)	پروتئین
-40,53	-24,73	-0,66	1,10	1,10	7,58	1,12	303	HSA
-35,85			0,84	0,84	2,51	1,10	310	
-31,18			0,71	0,71	0,79	1,03	317	
-36,0	-165,00	-0,42	0,80	0,80	2,39	1,37	303	BSA
-33,3			0,57	0,57	2,04	1,10	310	
-30,2			0,51	0,51	1,14	1,06	317	

نظریه FRET اشاره به انتقال انرژی غیرتابشی از یک مولکول دهنده (پروتئین) به مولکول گیرنده (کمپلکس روی) دارد. با توجه به این نظریه فاصله بین دهنده و پذیرنده قابل محاسبه است. همپوشانی طیف نشری پروتئین با طیف جذبی کمپلکس برای محاسبه فاصله بین پروتئین حامل و کمپلکس روی به کار می‌رود. شکل ۶ همپوشانی طیف‌های فلورسانس این دو پروتئین با طیف الکترونی کمپلکس روی و جدول ۲ مقادیر E و r محاسبه شده برای این ترکیب را نشان می‌دهد.

برپایه انرژی آزاد گیبس، مقادیر منفی انرژی آزاد نشان‌دهنده این است که پیوند میان کمپلکس روی با هر دوپروتئین فرایندی خودبه‌خودی است. مقادیر منفی آنتالپی و آنتروپی، وجود پیوند هیدروژنی و برهمکنش‌های واندروالسی در برهمکنش کمپلکس روی با این دو پروتئین حامل را تأیید می‌کند [۳۴]. البته با توجه به مقدار کوچک آنتروپی و همچنین، وجود گروه ایمین در ساختار کمپلکس، وجود برهمکنش‌های آب‌گریز نیز دور از انتظار نیست. مشابه این برهمکنش‌ها در پیوند بسیاری از داروها و همچنین، کمپلکس‌های فلزی با پروتئین‌های HSA و BSA گزارش شده است [۲۷ و ۲۸].



شکل ۵ همپوشانی طیف‌های فلورسانس پروتئین (نقطه چین) و کمپلکس روی (خط مستد) در دمای 30°C کلوین و با نسبت کمپلکس به پروتئین ۱ و غلظتی برابر $3\text{ }\mu\text{M}$ میکرومولار برای HSA (A) و (B) BSA



شکل ۶ نمودارهای وانت هووف در دماهای مختلف برای برهمه کنش (A) HSA و (B) BSA با کمپلکس روی

جدول ۲ مقادیر E و r محاسبه شده برای برهمه کنش کمپلکس روی و دو پروتئین HSA و BSA

$0.5R_0 < r < 1.5R_0$	r (nm)	R_0 (nm)	E	J ($\text{cm}^3 \text{L mol}^{-1}$)	سامانه
$2,49 < 5,82 < 7,46$	۵,۸۲	۴,۹۰	۰,۲۸۰	$5,88 \times 10^{-13}$	HSA-Zn Complex
$2,26 < 5,29 < 6,79$	۵,۲۹	۴,۵۲	۰,۳۲۰	$3,34 \times 10^{-13}$	BSA-Zn Complex

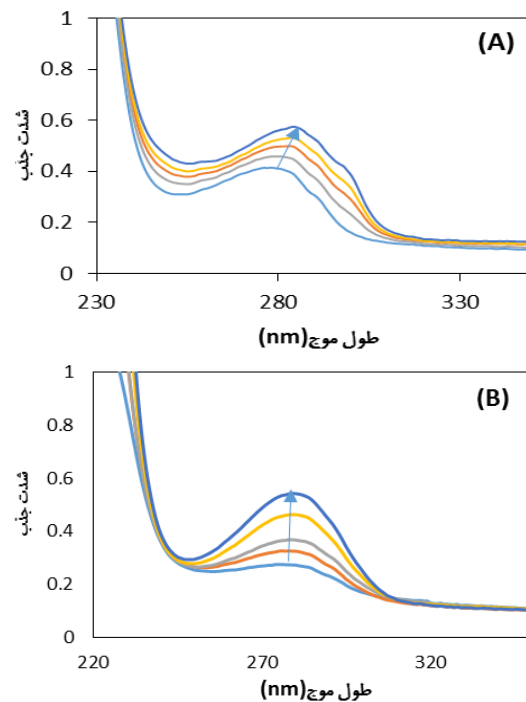
جذب پروتئین در طول موج بیشینه 280 nm مبنای بررسی و تفسیر برهمه کنش‌ها در نظر گرفته شد. شکل ۷ طیف جذبی UV-Vis مربوط به دو پروتئین HSA و BSA در حضور و غیاب کمپلکس روی را نشان می‌دهد. همان‌طور که مشاهده می‌شود با افزایش غلظت کمپلکس شدت طیف جذبی افزایش می‌یابد که این پدیده بیانگر برهمه کنش کمپلکس با HSA و BSA است (شکل ۷). همان‌طور که مشاهده می‌شود طول موج بیشینه با افزایش غلظت

مطالعه‌ها نشان می‌دهند اگر فاصله بین یک دارو و پروتئین کمتر از 8 nm باشد، انتقال انرژی بین دارو و پروتئین با احتمال بالایی انجام می‌شود [۳۵ و ۳۶]. با توجه به مقادیر r در جدول ۲ انتقال انرژی بین کمپلکس روی و هر دو پروتئین با احتمال بسیار بالایی انجام می‌شود. نتیجه‌های مشابهی در گزارش‌های دهخدايی و همکارانش مشاهده می‌شود [۳۷].

خاموش کند. اگر مولکول برهمکنش کننده موج خاموشی فلورسانس پروتئین بدون هیچ‌گونه جابه‌جایی در بیشینه طیف نشری شود، آب‌گریزی و قطبیت در محیط اطراف مولکول فلوروفور (تریپتوфан یا تیروزین) تغییر نمی‌کند. جابه‌جایی آبی در بیشینه طیف نشری نشان‌دهنده این است که کاهش قطبیت یا افزایش آب‌گریزی در اطراف مولکول فلوروفور اتفاق افتاده است و از سوی دیگر جابه‌جایی قرمز نشان می‌دهد که افزایش قطبیت یا کاهش آب‌گریزی در محیط اطراف مولکول فلوروفور رخ داده است.

طیف‌های فلورسانس همزمان در غلظت‌های مختلف کمپلکس در شکل ۸ نشان داده شده است. با افزایش غلظت کمپلکس کاهش شدت نشر فلورسانس در همه نمودارها قابل مشاهده است. همان‌طور که دیده می‌شود برای هر دو پروتئین در مورد $\Delta\lambda$ برابر با 40° ، جابه‌جایی قرمز یا آبی در بیشینه طیف مشاهده نمی‌شود در حالی که برای $\Delta\lambda$ برابر با 15° ، جابه‌جایی به سمت طول موج‌های بلندتر (از 289 نانومتر به 294 نانومتر برای HSA و از 290 نانومتر به 295 نانومتر برای BSA) یا جابه‌جایی قرمز در بیشینه طیف مشاهده می‌شود. برایه طالب ذکر شده در بالا نبود جابه‌جایی در بیشینه طیف نشری (λ_{max}) بیانگر این است که پس از برهمکنش کمپلکس با این دو پروتئین هیچ‌گونه تغییری در قطبیت اطراف باقی‌مانده تریپتوファン رخ نداده است و یا این تغییر به قدری کوچک بوده است که به صورت جابه‌جایی در طیف‌ها قابل مشاهده نیست، در حالی که جابه‌جایی قرمز در $\Delta\lambda$ برابر با 15° نشانگر افزایش قطبیت در اطراف باقی‌مانده تیروزین پروتئین است. این مشاهده تایید می‌کند که انتخاب طول موج برانگیختگه شدن تیروزین و تریپتوファン درست بوده است.

کمپلکس روی به طرف طول موج‌های بلندتر جابه‌جا شده است. این جابه‌جایی می‌تواند دلیلی بر تغییر قطبیت در اطراف آمینواسیدهایی باشد که قادر به جذب نور مرئی هستند.

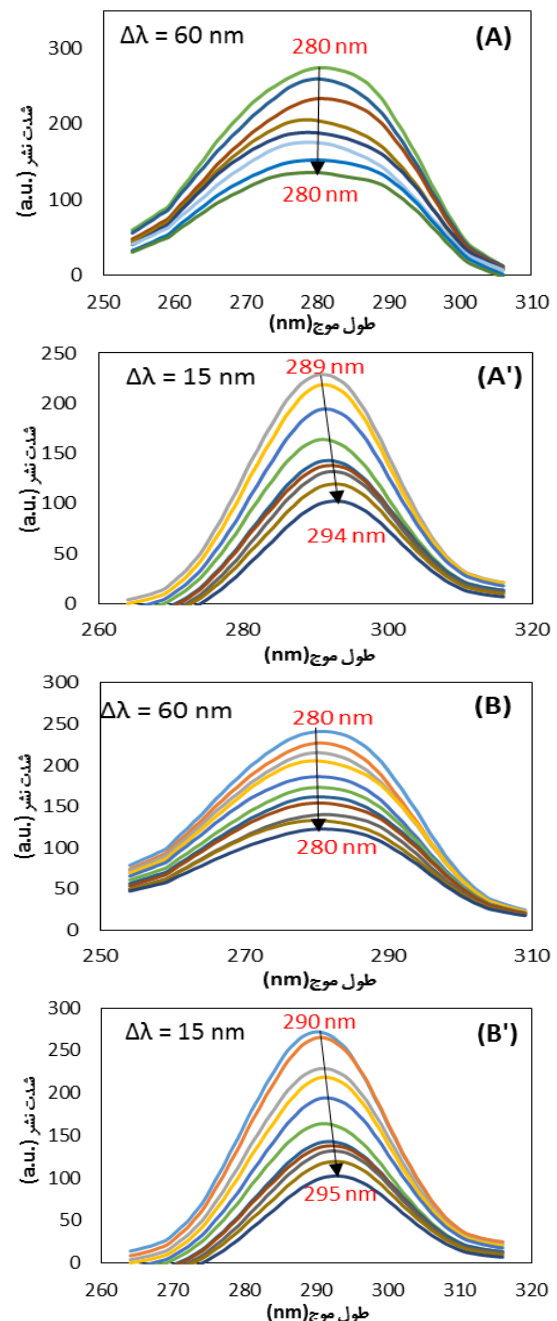


شکل ۷ طیف‌های الکترونی مربوط به پروتئین HSA (A) و پروتئین BSA (B) (۵ میکرومولاو) در حضور غلظت‌های مختلف از کمپلکس روی (۲۷ تا ۵۴/۳ نیکرومولاو)

طیفسنجی فلورسانس همزمان که یک روش ساده و مفید است به طور گسترده‌ای برای مطالعه محیط مولکولی مجاور مولکول فلوروفور و ارزیابی تغییرهای صورت‌بندی پروتئین استفاده می‌شود. تفاوت بین طول موج تحریک و طول موج نشر ($\Delta\lambda$) یک عامل مفید برای بررسی مشخصات فلورسانس همزمان HSA است. مقدارهای $\Delta\lambda$ برابر با 15° و 40° به ترتیب برای توصیف باقی‌مانده‌های تیروزین و تریپتوファン مناسب است [۳۸]. مولکول برهمکنش دهنده می‌تواند فلورسانس ذاتی پروتئین را با انتقال و یا بدون هیچ‌گونه انتقال در بیشینه طیف نشری (λ_{max})

تقارن ساختاری موجود در یک درشتمولکول زیستی ویژه مانند پروتئین منجر به ایجاد تفاوت در جذب نور قطبیده چپ‌گردن در مقابل راست‌گردن می‌شود که اندازه‌گیری این تفاوت با طیف‌سنجی دورنگ نمایی دورانی انجام می‌گیرد. طیف دو رنگ نمایی دورانی HSA و BSA با حضور یک نوار در ۲۰۸ و یک نوار در ۲۲۲ نانومتر مشخص می‌شود که نشان‌دهنده پیچ خوردگی پروتئین است (شکل ۹) [۳۹].

طیف‌های CD مربوط به پروتئین تنها و در حضور کمپلکس روی در شکل ۹ نشان داده شده‌اند. نتیجه‌ها نشان می‌دهد که درصد مارپیچ آلفا پروتئین در نبود کمپلکس روی ۴۷/۴٪ برای HSA و ۵۱/۴۴٪ برای BSA است که این مقادیر در حضور کمپلکس به ۴۴/۳٪ برای HSA و ۴۵/۹۳٪ برای BSA کاهش یافته است. کاهش محتوای مارپیچ آلفا نشان‌دهنده این است که کمپلکس با اسیدآمینه‌های زنجیره پلی‌پپتیدی HSA پیوند برقرار کرده و موجب تخریب ساختار پیوند هیدروژنی آن شده است. همچنین، می‌توان نتیجه‌گیری کرد که کمپلکس با ایجاد تغییر ساختاری محدود در پروتئین می‌تواند موجب کاهش پایداری پروتئین شود. با مقایسه عددهای به دست آمده می‌توان گفت که تغییرهای ساختاری پروتئین BSA نسبت به HSA در حضور کمپلکس روی کمی بیشتر است و این تفاوت محدود با تفاوت اندکی که در قدرت برهم‌کنش این دو پروتئین نیز مشاهده شد، به طور کامل همخوانی دارد. این نتیجه‌ها با گزارش‌های ارایه شده توسط جینگ و همکارانش همخوانی دارد [۴۰].

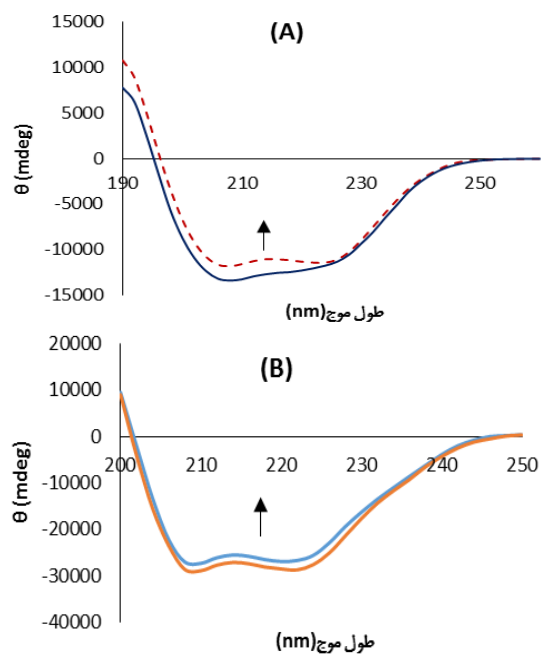


شکل ۸ طیف‌های فلورسانس همزمان برای پروتئین (A) و (A') و پروتئین (B) و (B') در حضور غلظت‌های متفاوتی از کمپلکس روی وقتی $\Delta\lambda$ برابر با ۱۵ و ۶۰ نانومتر است.

۷/۴ در سه دمای ۳۰۳، ۳۱۰ و ۳۱۷ کلوین مطالعه شد. طیف‌سنجی فلورسانس وجود برهمکنش‌های واندروالس و هیدروژنی بین پروتئین‌ها و کمپلکس را تایید کرد و نشان داد که این کمپلکس می‌تواند نشر فلورسانس آن‌ها را به کمک سازوکار ایستا خاموش کند. با مقایسه نتیجه‌ها می‌توان گفت که قدرت این کمپلکس در گستره قدرت ترکیب‌های دارویی که به مرحله بالینی رسیده اند قرار دارد ($M^{-1} \cdot 10^4$): این موضوع بسیار مهم در طراحی داروهای نوترکیب است، زیرا قدرت پیوند باید آنقدر قوی باشد که پیوند دارو با پروتئین حامل تا زمان رسیدن به اندام هدف حفظ شود و از طرفی نباید خیلی قوی باشد که منجر به تغییر ساختار و عملکرد پروتئین حامل شده و نتواند از آن به راحتی جدا شود. مطالعه تغییرهای ساختاری در پروتئین، کاهش مقدار مارپیچ آلفا را نشان داد، اگرچه تغییرها خیلی زیاد نبود، ولی تغییرهای ساختاری پروتئین BSA نسبت به HSA در حضور کمپلکس روی کمی بیشتر بود و این نتیجه با تمایل بهنسبت بیشتر به کمپلکس روی در مقایسه با HSA همخوانی نشان داد.

سپاسگزاری

نویسنده‌گان از دانشگاه زابل برای حمایت‌های مالی در مسیر انجام پژوهش سپاسگزارند.



شکل ۹ طیف‌های CD مربوط به پروتئین‌های (A) HSA و (B) BSA (۳ میکرومولار) در نبود و در حضور کمپلکس روی (۱۰ میکرومولار)

نتیجه‌گیری

در این پژوهش، کمپلکس محلول در آب روی به فرمول کلی $[Zn(SBL)_2]Cl_2 =$ لیگاند شیف باز (ایمینواتیل‌پیپرازین‌دی‌استیل‌مونوکسیم) انتخاب و برهمکنش آن با دو پروتئین حامل HSA و BSA در تریس بافر حاوی سدیم کلرید (۱۰ میلی‌مولار) و pH برابر با

مراجع

- [1] Shahraki, S.; Saeidifar, M.; Delarami, H. S. and Kazemzadeh, H. J. Mol. Struct. 1205, 127590, 2020.
- [2] Mermer, A.; Demirbas, N.; Uslu, H.; Demirbas, A.; Ceylan, S.; Sirin, Y.; J. Mol. Struct. 1181, 412-422, 2019.
- [3] Rahim, F.; Ullah, H.; Taha, M.; Wadood, A.; Javed, M.T.; Rehman, W., Nawaz, M.;
- Ashraf, M.; Ali, M.; Sajid, M.; Ali, F.; Naseem Khan, M. and Mohammed Khan, K. Bioorg. Chem. 68, 30-40, 2016.
- [4] Mesbah, M.; Douadi, T.; Sahli, F.; Issaadi, S.; Boukazoula, S.; Chafaa, S.; J. Mol. Struct. 1151, 41-48, 2018.

- [5] Al Zoubi, W.; Al-Hamdani, A.A.S.; Kaseem, M.; Appl. Organomet. Chem. 30, 810-817, 2016.
- [6] Garnovskii, A.D.; Nivorozhkin, A.L.; Minkin, V.I.: Coord. Chem. Rev. 126, 1-69, 1993.
- [7] Kostova, I.; Saso, L.; Curr. Med. Chem. 20, 4609-4632, 2013.
- [8] Shahraki, S.; Majd, M.H.; Heydari, A.; J. Mol. Struct. 1177, 536-544, 2019.
- [9] Liu, H.; Shi, X.; Xu, M.; Li, Z.; Huang, L.; Bai, D.; Zeng, Z.; Eur. J. Med. Chem. 46, 1638-1647, 2011.
- [10] Li, T.-R.; Yang, Z.-Y.; Wang, B.-D. Chem. Pharm. Bull. 55, 26-28, 2007.
- [11] Li, Y.; Yang, Z.-Y.; Wang, M.-F.; J. Fluoresc. 20, 891-905, 2010.
- [12] Ascenzi, P.; Fasano, M.; Biophys. Chem. 148, 16-22, 2010.
- [13] Li, Y.; He, W.; Liu, H.; Yao, X.; Hu, Z.; J. Mol. Struct. 831, 144-150, 2007.
- [14] Carter, D.C.; Ho, J.X.; Adv. Protein Chem. 45, 153-203, 1994.
- [15] Curry, S.; Brick, P.; Franks, N.P.; BBA Molecular and Cell Biology of Lipids. 1441, 131-140, 1999.
- [16] Shiri, F.; Shahraki, S.; Bazzi-Alahri, M.; J. Mol. Struct. 1221, 128809, 2020.
- [17] Shahraki, S.; Saeidifar, M.; Shiri, F.; Heidari, A.; Polycyclic Aromat. Compd. 39, 220-237, 2019.
- [18] Holford, J.; Beale, P.; Boxall, F.; Sharp, S.; Kelland, L.; Eur. J. Cancer 36, 1984-1990, 2000.
- [19] Kantoury, M.; Eslami Moghadam, M.; Tarlani, A.A.; Divsalar, A.; Chem. Biol. Drug Des. 88, 76-87, 2016.
- [20] Mansouri-Torshizi, H.; Khosravi, F.; Ghahghaei, A.; Shahraki, S.; Zareian-Jahromi, S.; J. Biomol. Struct. Dyn. 36, 2713-2737, 2018.
- [21] Wu, D.; Wang, J.; Liu, D.; Zhang, Y.; Hu, X.; Scientific Reports 9, 1-8, 2019.
- [22] Eftink, M.R.; Ghiron, C.A.; Anal. Biochem. 114, 199-227, 1981.
- [23] Shen, X.; Yang, X.; Zhang, X.; Jie Cui, Z.; Kricka, L.J.; Stanley, P.E.; "Bioluminescence and Chemiluminescence: Light Emission: Biology and Scientific Applications", World Scientific, China, 2009.
- [24] Kazemi, Z.; Rudbari, H.A.; Sahihi, M.; Mirkhani, V.; Moghadam, M.; Tangestaninejad, S.; Mohammadpoor-Baltork, I.; Azimi, G.; Gharaghani, S.; Abbasi Kajani, A.; J. Photochem. Photobiol., B. 162, 448-462, 2016.
- [25] Hu, K.; Liu, C.; Li, J. and Liang, F. MedChemComm. 9, 1663-1672, 2018.
- [26] Song, X.-Q.; Wang, Z.-G.; Wang, Y.; Huang, Y.-Y.; Sun, Y.-X.; Ouyang, Y.; Xie, C.-Z.; Xu, J.-Y.; J. Biomol. Struct. Dyn. 38, 733-743, 2020.
- [27] He, C.; Majd, M.H.; Shiri, F.; Shahraki, S.; J. Mol. Struct. 1229, 129806, 2021.
- [28] Gurusamy, S.; Krishnaveni, K.; Sankarganesh, M.; Nandini Asha, R.; Mathavan, A.; J. Mol. Liq. 345, 117045, 2022.
- [29] Hashemnia, S.; Fard, F.K.; Mokhtari, Z.J.; Mol. Liq. 348, 118058, 2022.
- [30] Shi, J.-H.; Pan, D.-Q.; Jiang, M.; Liu, T.-T.; Wang, Q.; J. Photochem. Photobiol. B: Biol. 164, 103-111, 2016.
- [31] Asadizadeh, S.; Amirnasr, M.; Tirani, F.F.; Mansouri, A.; Schenk, K.; Inorg. Chim. Acta. 483, 310-320, 2018.
- [32] Ross, P.D.; Subramanian, S.; Biochemistry 20, 3096-3102, 1981.
- [33] Yang, Y.; Liu, Y.; Zhang, J.; Yang, H.; International Conference on Medicine Sciences and Bioengineering (ICMSB2016, BIO Web of Conferences 8, 01021, 2017), Guangdong, China, October 15-16, 2016.
- [34] Naik, P.N.; Nandibewoor, S.T.; Chimatadar, S.A.; J. Pharm. Anal. 5, 143-152, 2015.
- [35] Khan, S.N.; Islam, B.; Rajeswari, M.; Usmani, H.; Khan, A.U.; Acta Biochim. Pol. 55, 399-409, 2008.
- [36] Shiri, F.; Shahraki, S.; Baneshi, S.; Nejati-Yazdinejad, M.; Majd, M.H.; RSC Adv. 6, 106516-106526, 2016.

- [37] Dehkhodaei, M.; Sahihi, M.; Rudbari, H.A.; Momenbeik, F.; J. Biol. Inorg. Chem. 23, 181-192, 2018.
- [38] Zhang, J.; Gao, X.; Huang, J.; Wang, H.; ACS Omega. 5, 16833-16840, 2020.
- [39] Wang, K.; Lu, J.; Li, R.; Coord. Chem. Rev. 151, 53-88, 1996.
- [40] Jing, J.; Qu, X.; Tu, Z.; Zheng, C.; Zheng, Z.; Mol. Med. Rep. 9, 2191-2196, 2014.

Study of interaction between the anti-tumor complex of zinc(II) containing Schiff base ligand with human and bovine serum albumin**Somaye Shahraki^{1,*}, Fatemeh Khosravi²**

1. Associate Prof. of Inorganic Chemistry, Department of Chemistry, University of Zabol, Zabol, Iran.
2. Ph.D of Inorganic Chemistry, Department of Chemistry, University of Zabol, Zabol, Iran.

Abstract: Due to the growing interest of researchers in the synthesis of new chemical compounds that have diverse medicinal properties, in this study, the interaction of the complex of $[Zn(SBL)_2]Cl_2$ (SBL = Schiff base ligand 2(-iminoethyl)piperazine diacetyl monoxime) with human and bovine serum albumin proteins (HSA and BSA) in tris-buffer medium was investigated by spectroscopic methods. The results for both complexes were almost identical, as fluorescence spectroscopy showed that the inherent fluorescence quenching of both proteins is due to the interaction of the zinc complex through a static quenching mechanism. The zinc complex interacted with both proteins with almost the same affinity. Thermodynamic parameters showed the contribution of hydrogen bonding and van der Waals interactions, but the role of hydrophobic interactions is not insignificant due to the presence of the imine group in the complex structure and the small amount of ΔS . Structural changes during the interaction of zinc complex with two proteins were investigated by synchronous fluorescence methods as well as circular dichroism. The results of synchronous fluorescence showed that during the interaction of the complex with proteins no noticeable polarity change occurred around the tryptophan residue while around the tyrosine residue the polarity changed. The study of circular dichroism spectroscopy also shows a decrease in the content of the alpha helix in both complexes. The results of this study confirm that the interaction of the zinc complex in both proteins is almost similar, so sometimes in pharmacological studies it can be used instead of human protein from its animal family.

Keywords: Binding/thermodynamic parameters; Human/Bovine serum albumin; Protein interactions; Schiff base complexes; Structural changes

* Corresponding author Email: s-shahraki@uoz.ac.ir

Journal of Applied Research in Chemistry